

*Государственное образовательное учреждение высшего
профессионального образования*

**«Московский государственный технический
университет имени Н.Э. Баумана»
(МГТУ им. Н.Э. Баумана)**

ЛАБОРАТОРНАЯ РАБОТА №4
ПО КУРСУ «АНАЛИЗ АЛГОРИТМОВ»

Многопоточность

Выполнил: Тимонин А.С., гр. ИУ7-52Б

Преподаватели: Волкова Л.Л., Строганов Ю.В.

2019 г.

Оглавление

| | |
|---|-----------|
| Введение | 2 |
| 1 Аналитический раздел | 3 |
| 1.1 Алгоритм Винограда | 3 |
| 1.2 Многопоточность | 3 |
| 1.3 Вывод | 4 |
| 2 Конструкторский раздел | 5 |
| 2.1 Разработка алгоритмов | 5 |
| 2.2 Вывод | 7 |
| 3 Технологический раздел | 8 |
| 3.1 Требования к программному обеспечению | 8 |
| 3.2 Средства реализации | 8 |
| 3.3 Листинг кода | 8 |
| 3.4 Вывод | 11 |
| 4 Экспериментальный раздел | 12 |
| 4.1 Сравнительный анализ | 12 |
| 4.2 Вывод | 16 |
| 5 Заключение | 17 |
| Заключение | 17 |

Введение

Многопоточность (как доктрину программирования) не следует путать ни с многозадачностью, ни с многопроцессорностью, несмотря на то, что операционные системы, реализующие многозадачность, как правило, реализуют и многопоточность. Смысл многопоточности - квазимногозадачность на уровне одного исполняемого процесса[2].

В данной работе требуется рассмотреть алгоритм Винограда для умножения матриц в однопоточной и многопоточной реализациях, а также провести сравнительный анализ.

Цель работы: изучение многопоточности и получение практики на примере алгоритма Винограда для перемножения матриц.

Задачи работы:

1. Разработка и реализация алгоритмов.
2. Исследование временных затрат алгоритма.
3. Описание и обоснование полученных результатов.

1. Аналитический раздел

В данном разделе будет описан алгоритм Винограда для перемножения матриц.

1.1 Алгоритм Винограда

Алгоритм Винограда это модифицированная версия классического алгоритма, где часть процессов высчитывается заранее. Эти вычисления позволяют разбить вычисления алгоритма на потоки. Пусть есть две матрицы A и B размеров $n \times k$, $k \times m$ соответственно. Тогда результатом перемножения этих двух матриц будет матрица C размера $n \times m$ 1.1.

$$A_{nk} * B_{km} = C = \begin{pmatrix} c_{11} & c_{12} & \cdots & c_{1m} \\ c_{21} & c_{22} & \cdots & c_{2m} \\ \vdots & \vdots & \ddots & \vdots \\ c_{n1} & c_{n2} & \cdots & c_{nm} \end{pmatrix} \quad (1.1)$$

Если посмотреть на результат умножения двух матриц, то можно заметить, что каждый элемент в нем представляет собой скалярное произведение соответствующих строки и столбца исходных матриц. Также, такое умножение позволяет сделать предварительную обработку заранее [3]

Пусть два вектора

$$V = (v1, v2, v3, v4),$$

$$W = (w1, w2, w3, w4)$$

Тогда их скалярное произведение равно:

$$V * W = v1w1 + v2w2 + v3w3 + v4w4$$

Это равенство можно переписать в виде:

$$V * W = (v1 + w2)(v2 + w1) + (v3 + w4)(v4 + w3) - v1v2 - v3v4 - w1w2 - w3w4$$

1.2 Многопоточность

Существуют зеленые и нативные потоки. Зеленые потоки - это потоки выполнения, управление которыми вместо операционной системы выполняет виртуальная машина. Программа написанная на языке, поддерживающем зеленые потоки, только эмитирует многопоточность.

На многоядерных процессорах реализация нативных потоков может автоматически назначать работу нескольким процессорам, а реализация зеленых потоков не может назначить работу нескольким процессорам.

Поток выполнения - наименьшая единица обработки, исполнение которой может быть назначено ядром операционной системы. Реализация потоков выполнения и процессов в разных операционных системах отличается друг от друга, но в большинстве случаев поток выполнения находится внутри процесса. Несколько потоков выполнения могут существовать в рамках одного и того же процесса и совместно использовать ресурсы, такие как память, тогда как процессы не разделяют этих ресурсов[1]

1.3 Вывод

В данном разделе был описан алгоритм Винограда перемножения матриц.

2. Конструкторский раздел

В данном разделе будет приведена блок-схема алгоритма Винограда для перемножения матриц, описано для каких частей алгоритма выделялись потоки, и каким образом это было реализовано.

2.1 Разработка алгоритмов

В данном пункте представлена реализация алгоритма Винограда на рис. 2.1.

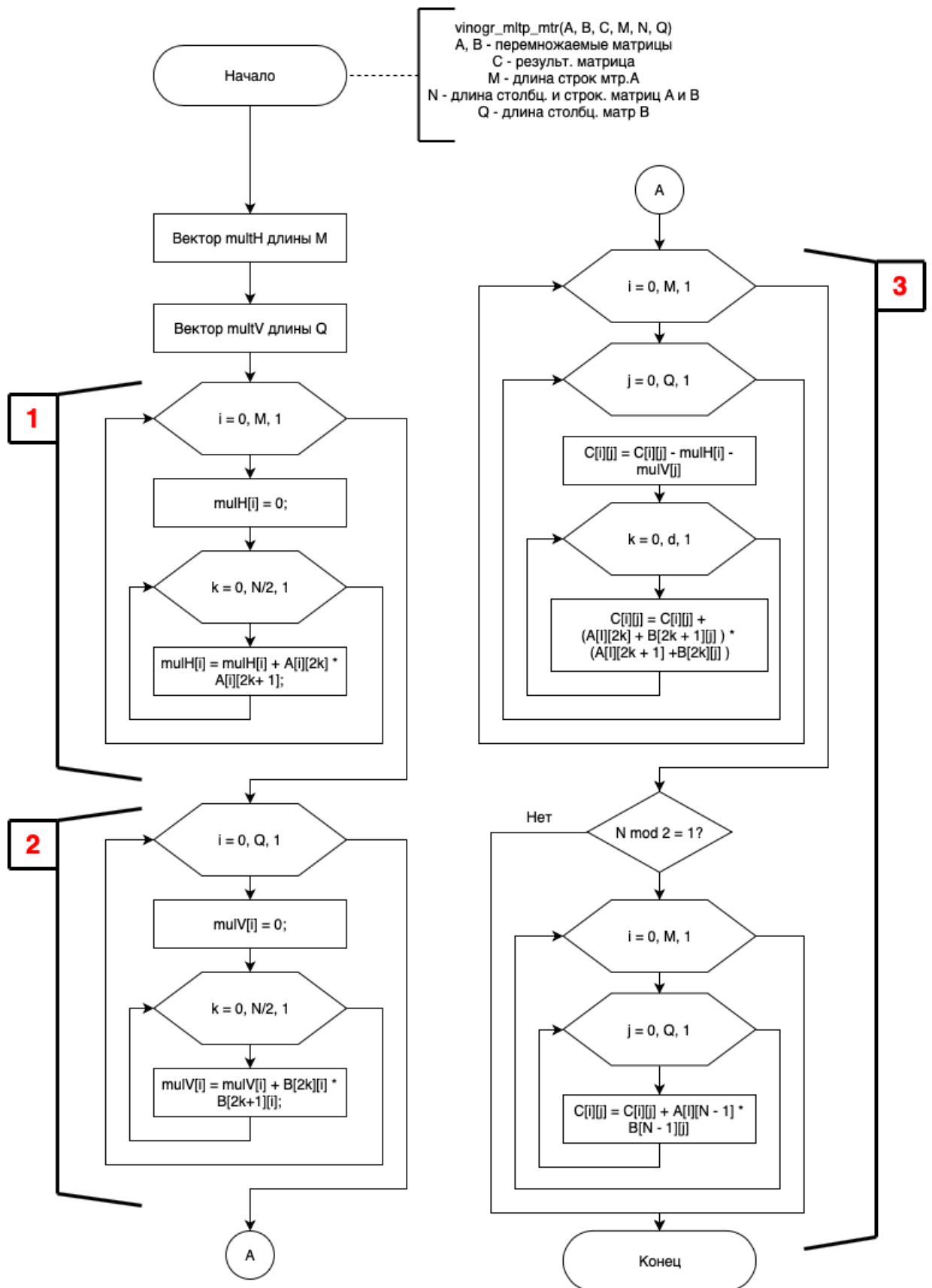


Рис. 2.1: Схема алгоритма Винограда

Для реализации многопоточной версии алгоритма можно выделить 4 основные части

1. Создание и инициализация MulH.
2. Создание и инициализация MulV.
3. Основные и дополнительные(для входных матриц нечетной размерностей) вычисления матрицы произведения.

Части 1, 2 разбиваются по потокам. Поток для 3 части не выделяется, пока не выполнятся 1 и 2 части.

2.2 Вывод

В данном разделе была приведена схема алгоритма, было описано каким образом выделялись потоки в реализованном алгоритме Винограда.

3. Технологический раздел

В данном разделе будут рассмотрены требования к разрабатываемому программному обеспечению, средства, использованные в процессе разработки для реализации поставленных задач, а также представлены листинги кода программы.

3.1 Требования к программному обеспечению

Программное обеспечение должно реализовывать алгоритм Винограда для перемножения матриц в однопоточной и многопоточных реализациях.

3.2 Средства реализации

Для выполнения поставленной задачи был использован язык программирования C++. Среда для разработки XCode. Для измерения процессорного времени была взята функция `duration` из библиотеки `chrono`.

Версия компилятора C++: GNU++14 [-std=gnu++14]

3.3 Листинг кода

На основе схемы, приведенной в конструкторском разделе, в соответствии с указанными требованиями к реализации с использованием языка C++ было разработано программное обеспечение, содержащее реализации выбранных алгоритмов. В данном пункте приведен листинг 3.1-3.2 реализации алгоритма.

Листинг 3.1: Реализация алгоритма Винограда

```
1 void Vinograd_n_thread(matrix_type &a, matrix_type &b, matrix_type &c, int n)
2 {
3     vector<int> row(a.n);
4     vector<int> column(b.m);
5
6     vector<thread> threads;
7
8     unsigned int n1 = a.n / 2;
9     zeroing(c.matrix, c.n, c.m);
10
11     double length_part = (double) a.n / n;
12     if (length_part < 1) {
13         length_part = 1;
14     }
15
16     for (int i = 0; i < a.n; i++) {
17         row.push_back(0);
```

```

18 }
19 for (int i = 0; i < b.m; i++) {
20     column.push_back(0);
21 }
22
23 thread thr_mulH(create_mulH, ref(a.matrix), ref(row), 0, ref(a.n), ref(a.m));
24 thread thr_mulV(create_mulV, ref(b.matrix), ref(column), 0, ref(b.m), ref(b.n));
25
26 thr_mulH.join();
27 thr_mulV.join();
28
29 for (int i = 1; i <= n; i++) {
30     threads.push_back(thread(calculate1, ref(a), ref(b), ref(c), ref(row), ref(column), (a.n * (i - 1)) / n, (
        a.n * i) / n));
31 }
32
33 for (int i = 0; i < threads.size(); ++i) {
34     if (threads[i].joinable()) {
35         threads[i].join();
36     }
37 }
38 }

```

Листинг 3.2: Основные вычисления для многопоточной реализации алгоритма Винограда

```

1 void create_mulH(int **&A, vector <int>& row, const unsigned int &M_start, const
    unsigned int &M_end, const unsigned int &N)
2 {
3
4     for (unsigned i = M_start; i < M_end; i++) {
5         //cout << this_thread::get_id() << endl;
6         for (unsigned k = 0; k < N / 2; k++) {
7             row[i] += A[i][2 * k] * A[i][2 * k + 1];
8         }
9     }
10 }
11
12 void create_mulV(int **&B, vector <int>& column, const unsigned int &Q_start, const
    unsigned int &Q_end, const unsigned int &N)
13 {
14
15     for (unsigned i = Q_start; i < Q_end; i++) {
16         //cout << this_thread::get_id() << endl;
17         for (unsigned k = 0; k < N / 2; k++) {
18             column[i] += B[2 * k][i] * B[2 * k + 1][i];
19         }
20     }
21 }
22
23 void calculate(int **&A, int **&B, int **&C, vector <int> &row, vector <int> &column,
    const unsigned int &M, const unsigned int &N, const unsigned int &Q)
24 {
25     for (unsigned i = 0; i < M; i++)
26     for (unsigned j = 0; j < Q; j++) {

```

```

27 if (N % 2 == 0)
28 C[i][j] = -row[i] - column[j];
29 else
30 C[i][j] = -row[i] - column[j] + A[i][N - 1] * B[N - 1][j];
31
32 for (unsigned k = 0; k < N / 2; k++) {
33 C[i][j] = C[i][j] + (A[i][k << 1] + B[k << 1 | 1][j]) *
34 (A[i][k << 1 | 1] + B[k << 1][j]);
35 }
36 }
37
38 }
39
40 void calculate1(matrix_type &a, matrix_type &b, matrix_type &c, vector<int> &row, vector<int>
    > &column, const unsigned int n_start, unsigned int n_end)
41 {
42 int sum = 0;
43
44 for (unsigned i = n_start; i < n_end; i++) {
45 //cout << this_thread::get_id()<< endl;
46 for (unsigned j = 0; j < b.m; j++) {
47
48 sum = -row[i] - column[j];
49
50 for (unsigned k = 0; k < a.m / 2; k++) {
51 sum += (a.matrix[i][2*k] + b.matrix[2*k+1][j]) *
52 (a.matrix[i][2*k+1] + b.matrix[2*k][j]);
53 }
54
55 if (a.m % 2 == 1)
56 sum += a.matrix[i][a.m - 1] * b.matrix[b.n - 1][j];
57
58 c.matrix[i][j] = sum;
59 }
60 }
61
62 }

```

3.4 Вывод

В данном разделе были рассмотрены требования к разрабатываемому программному обеспечению, средства, использованные в процессе разработки, а также был представлен листинг кода реализации алгоритма Винограда.

4. Экспериментальный раздел

В данном разделе будет приведено экспериментальное исследование временных затрат разработанного программного обеспечения, вместе в подробным сравнительным анализом реализованных алгоритмов на основе экспериментальных данных.

4.1 Сравнительный анализ

Замеры времени выполнялись на квадратных матрицах размеров от 100x100 до 1000x1000 с интервалом в 100 элементов. Также замеры времени проводились над квадратными матрицами нечетной размерностью от 101x101 до 1001x1001 с шагом 100. В табл. 4.1-4.2 и рис. 4.1-4.1 представлены результаты замеров времени в тактах.

Все замеры проводились на процессоре 1,4 GHz Intel Core i5 с памятью 8 ГБ 2133 MHz LPDDR3.

Таблица 4.1: Сравнение времени работы однопоточной и многопоточной версий алгоритма в единицах измерения библиотеки chrono

| Размерность матриц | Поток 1 | Поток 2 | Поток 3 | Поток 4 | Поток 5 | Поток 6 |
|--------------------|---------|---------|---------|---------|---------|---------|
| 100 | 4 | 2 | 1 | 1 | 1 | 1 |
| 200 | 36 | 17 | 7 | 6 | 6 | 6 |
| 300 | 128 | 56 | 36 | 35 | 27 | 27 |
| 400 | 334 | 165 | 111 | 89 | 90 | 77 |
| 500 | 590 | 331 | 205 | 176 | 161 | 148 |
| 600 | 932 | 535 | 369 | 279 | 250 | 241 |
| 700 | 1504 | 857 | 591 | 505 | 465 | 423 |
| 800 | 2329 | 1261 | 815 | 710 | 731 | 675 |
| 900 | 3808 | 2818 | 1570 | 1166 | 1131 | 1084 |
| 1000 | 10691 | 4392 | 2743 | 2169 | 1816 | 1529 |

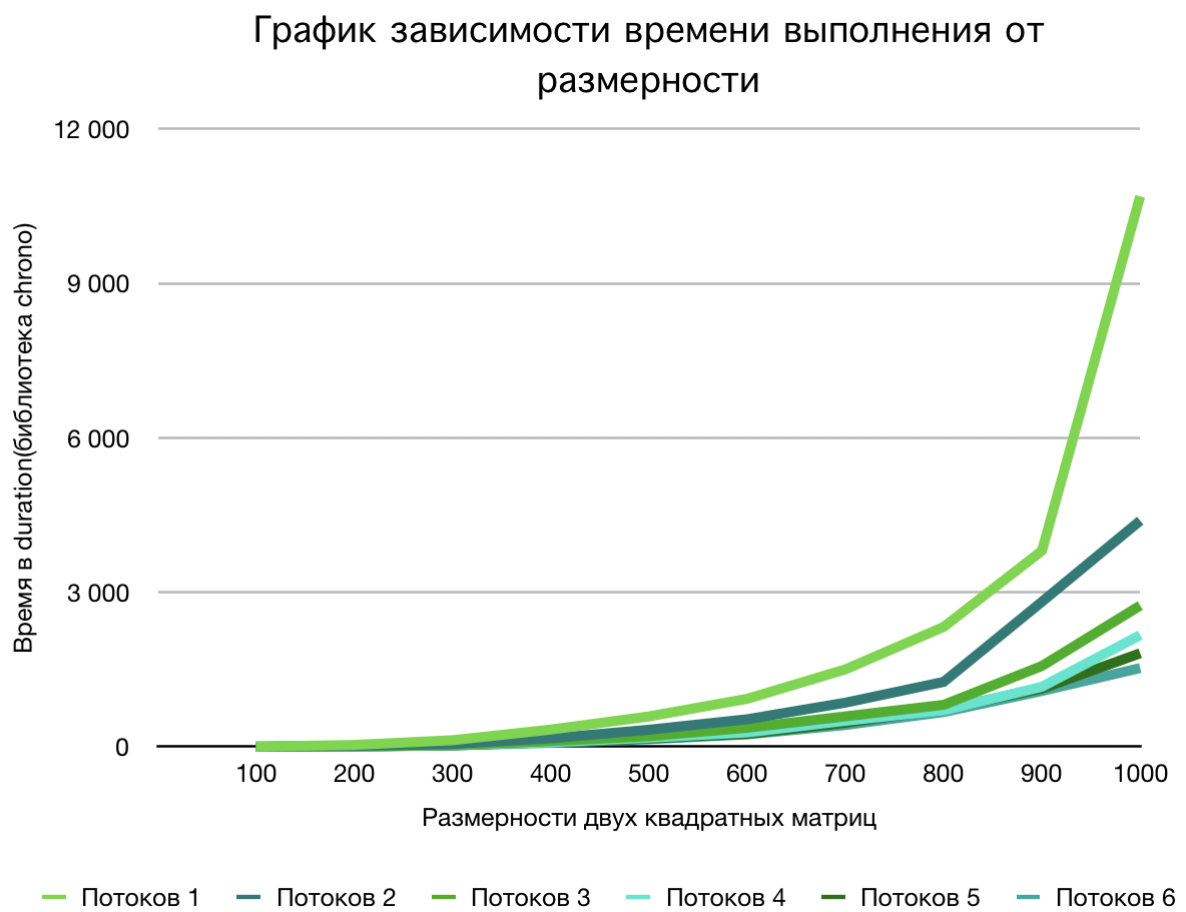


Рис. 4.1: График зависимости времени работы однопоточной и многопоточных версий алгоритма для четной размерности матриц

Таблица 4.2: Сравнение времени работы однопоточной и многопоточной версий алгоритма в единицах измерения библиотеки chrono

| Размерность матриц | Поток 1 | Поток 2 | Поток 3 | Поток 4 | Поток 5 | Поток 6 |
|--------------------|---------|---------|---------|---------|---------|---------|
| 101 | 4 | 2 | 1 | 1 | 1 | 1 |
| 201 | 24 | 15 | 7 | 11 | 7 | 7 |
| 301 | 116 | 62 | 37 | 26 | 31 | 30 |
| 401 | 320 | 153 | 111 | 86 | 84 | 75 |
| 501 | 531 | 306 | 209 | 163 | 150 | 142 |
| 601 | 993 | 492 | 333 | 260 | 249 | 242 |
| 701 | 1487 | 853 | 556 | 455 | 556 | 428 |
| 801 | 2482 | 1154 | 850 | 699 | 729 | 643 |
| 901 | 6480 | 2810 | 1562 | 1093 | 1175 | 1362 |
| 1001 | 8949 | 3892 | 2645 | 2179 | 2260 | 2054 |

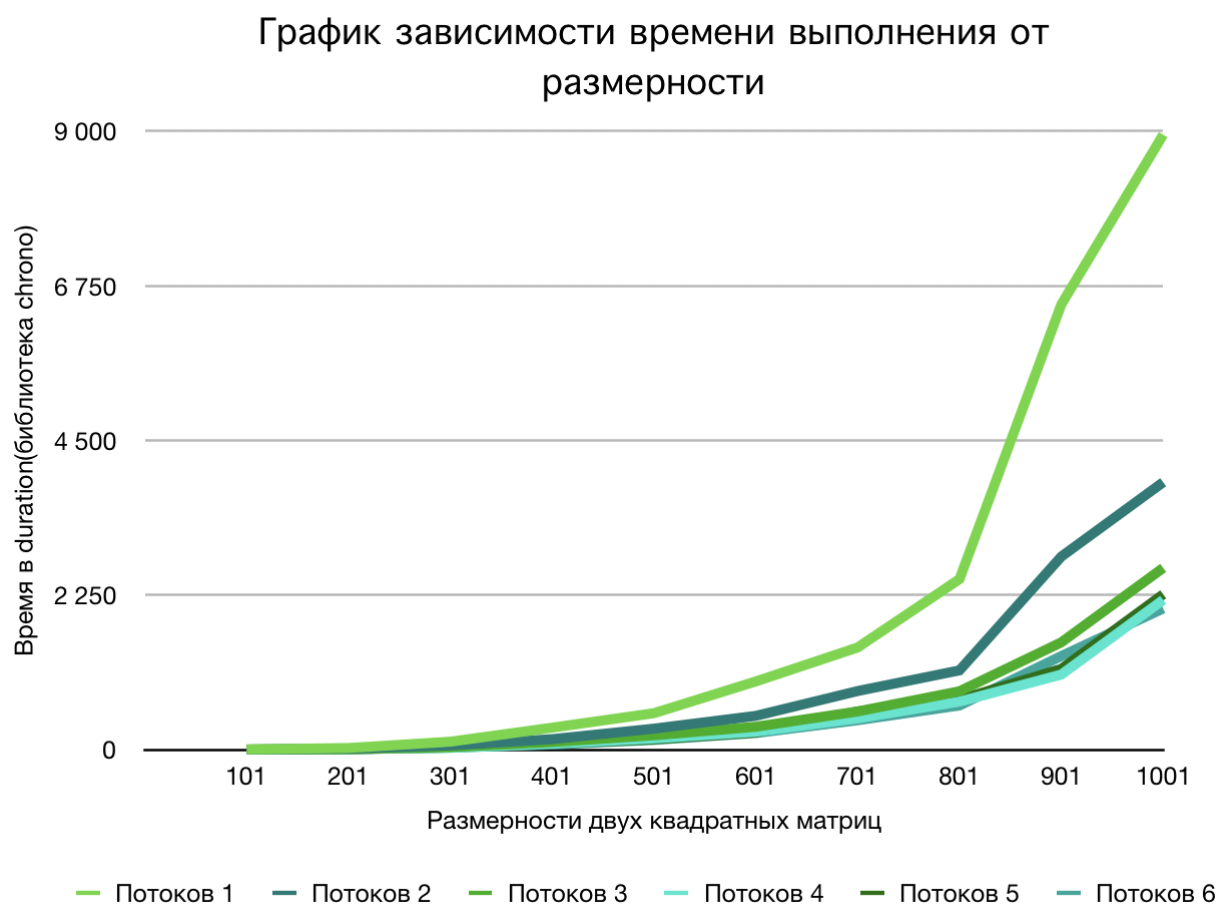


Рис. 4.2: График зависимости времени работы однопоточной и многопоточных версий алгоритма для нечетной размерности матриц

Из данных графиков видно, что присутствие хотя бы двух потоков в несколько раз эффективнее, в сравнении с однопоточной реализацией алгоритма. Разница по времени выполнения в многопоточной реализации алгоритма не зависит от четной или нечетной

Таблица 4.3: Время работы программы для 7 и 8 потоков

| Размерность матриц | Поток 7 | Поток 8 |
|--------------------|---------|---------|
| 100 | 1 | 1 |
| 200 | 7 | 6 |
| 300 | 26 | 26 |
| 400 | 70 | 66 |
| 500 | 132 | 126 |
| 600 | 218 | 210 |
| 700 | 410 | 370 |
| 800 | 595 | 581 |
| 900 | 1133 | 937 |
| 1000 | 1356 | 1482 |

размерности матриц. Самое оптимальное количество потоков для реализации данного алгоритма - 4, из-за того что на восьми потоках разниц не существенна.

4.2 Вывод

В данном разделе было проведено исследование однопоточной и многопоточных версий алгоритма. Приведены графики зависимостей времени работы алгоритма от размерности матриц.

Среди всех версий алгоритма самыми лучшим оказались версии, где задействовалось не менее четырех потоков. Многопоточная версия алгоритмов показала хороший результат относительно однопоточной версии: восьмипоточная реализация алгоритма эффективней однопоточной на 400% при размерности матриц равной 1000.

5. Заключение

В ходе выполнения данной лабораторной работы были изучены и реализованы различные алгоритмы перемножения матриц. В аналитической части было приведено описание алгоритмов. В конструкторской части были представлены блок-схемы алгоритмов. Также был выполнен расчет сложности алгоритмов. В экспериментальной части проведен сравнительный анализ временных затрат, после которого была выявлена ощутимая эффективность многопоточного программирования по отношению к стандартному, однопоточному.

На матрицы размерности 1000×1000 результаты оказались следующими:

- Эффективность 1 потока к 2 потокам составила 240%.
- Эффективность 1 потока к 4 потокам составила 490%.
- Эффективность 1 потока к 6 потокам составила 700%.
- Эффективность 1 потока к 8 потокам составила 720%.

Литература

- [1] Энтони Уильямс Параллельное программирование на C++ в действии. Практика разработки многопоточных программ.
- [2] Многопоточность [Электронный ресурс]. - Режим доступа: <https://ru.bmstu.wiki/Многопоточность>, свободный. (Дата обращения: 20.11.2019 г.)
- [3] Многопоточность [Письменный ресурс]. - Семинар по анализу алгоритмов. (Дата обращения: 19.11.2019 г.)